

Peatükk 6

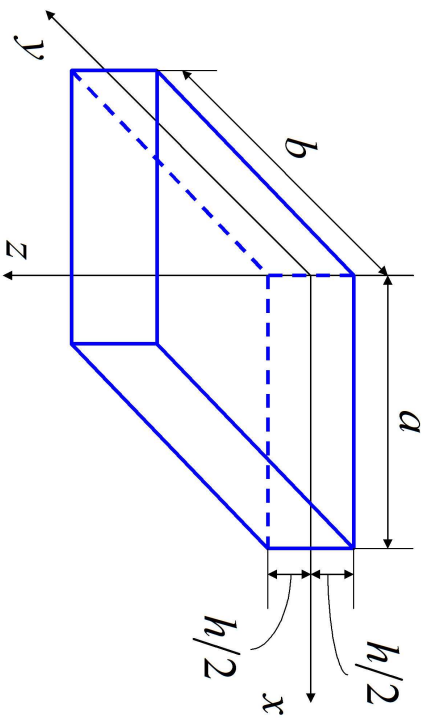
Õhukeste plaatide paine

6.1 Plaatide paindeteooria põhimõisted ja hüpoteesid

6.1. Plaatide paindeteooria põhimõisted ja hüpoteesid

240

Plaat on prismaatiline või silindriline keha, mille kõrgus on väike võrreldes teiste dimensioonidega.¹ Hariikult nimetame seda kõrgust *plaadi paksuseks* ja tähistame h . Käesolevas peatükis vaatleme ristkülikplaatte, järgmises aga ka ümar- ja röngasplaate.



Joonis 6.1: Plaadi mõõtmed ja koordinaatasandite valik.

¹Tihti defineeritakse plaat kui kooriku erijuht. *Koorik* on konstruktsioonielement, mille üks mõõde on teistega võrreldes väike. *Plaat* on koorik, mille kõverus on null, st. mida ümbritsevatest pindadest kaks on paralleelsed tasandid.

Pinda, mis jagab plaadi paksuse kaheks võrdseks osaks, nimetatakse plaadi *keskpinnaks*. Koordinaatteljed valime nii, et x ja y teljed on kesktasandil ning z telg on suunatud alla (vt. joonis 6.1). Plaadi laiuse tähistame a ja pikkuse b .

Plaadile mõjuva koormuse saab alati lahutada kaheks komponendiks.

- Plaadi keskpinnaga ristuv koormus ehk põikkoormus
 - Plaadi paine
 - Plaadi keskpinnna sihis mõjuv koormus
 - Stabiilsus — kriitiline koormus — mõlkumine
-

6.1. Plaatide paindeteooria põhimõisted ja hipoteesid

Plaatide liigitus.

Paksuse järgi.

- Paksus võib olla nii konstantne kui muutuv.
- Õhukedes ja paksud. Egi ja Poveruse² järgi loetakse õhukeseks plati, mille lühema küllje pikkus a on vähemalt viis korda suurem kui paksus h , st., $a/h \geq 5$, Ugurali³ järgi aga kui $a/h \geq 20$.

Materjali omaduste järgi.

- isotroopsed plaadid — metallplaadid
- anisotroopsed plaadid
 - ortotroopsed plaadid — vineer, ristsarrusega raudbetoonplaat (nõrgalt ortotroopne)

²R. Eek, L. Poverus, Ehitusmehaanika II, Tallinn, 1967

³A. C. Ugural, Stresses in Plates and Shells, Boston, McGraw-Hill, 1999

Painde iseloomu järgi.

- **Jäigad plaadid.** Kui plaadi maksimaalne läbipaine on vörreldes plaadi paksusega väike, siis võtavad enamuse väliskoormusest vastu paindemon mendid ja poikjöud. Selliseid plaate nimetatakse jäikadeks. Metsaveere⁴ põhjal on väike läbipaine 10% paksusest, Egi ja Poveruse⁵ põhjal 1/3 Ugurali⁶ põhjal aga 1/2.

- **Membraanid.** Kui läbipained ületavad mitmekordelt (Eek & Poverus: 5 korda) plaadi paksuse, siis võtavad enamuse koormusest vastu plaadi kesktasandis tekkivad pikijöud — nn. aheljöud. Selliseid plaate nimeta takse membraanideks.

- **Painduvad plaadid.** Plaate, mis pole ei jäigad ega membraanid nimeta takse painduvateks.

Jäikade plaatide puhul hüljatakse ahelsinged, membraanide puhul paindepin ged. Painduvate plaatide korral tuleb aga arvesse võtta mõlemad. Kuna mak-

⁴J. Metsaveer, Plaatide arvutus ja tasandülesanne, Tallinn, 1987

⁵R. Eek, L. Poverus, Ehitusmehaanika II, Tallinn, 1967

⁶A. C. Ugural, Stresses in Plates and Shells, Boston, McGraw-Hill, 1999

6.1. Plaatide paindeteooria põhimõisted ja hipoteesid

244

simaalne läbipaine sõltub mõjuvast koormusest, siis võib sama plaat töötada nii jäigana, painduvana kui membraanina.

Käesolevas kursuses vaatleme vaid õhukesi ühtlase paksusega isotroopseid jäiku plaate. Sellise plaadi töö koormuse vastuvõtmisel on paljuski sarnane tala tööle. Samas aga on sisejõudude ja tooreaktsioonide leidmisel olulisi erinevusi.

Õhukeste jäikade plaatide paindeteoorias on kasutusel terve rida lihtsustavaid hüpoteese, mis on sarnased tugevusõpetuses kasutatavatele. Samas ei käsitleta plaate tugevusõpetuse vaid hoopis elastsusõpetuse raames ülesannete keerukuse tõttu.

Märkus: Paljud autorid ei kasutata jäiga ja painduva plaadi mõistet, vaid ütlevald, et esimesel juhul loetakse läbipained väikeseks ning kasutatakse klassikalist plaatide teooriat. Teisel juhul aga on tegu lõplikele ehk suurtele läbipainetele vastava teooriaga.

Hüpoteesid

- Plaadi keskpind ei pikene ega lühene vaid ainult paindub (kõverdub).
 - See viitab jäига plaadi definitsioonile.
 - Kesktasandi punktide siirded on vaid z telje sihis, plaadi pinna sihis on siirded nullid.
- Sirged, mis enne paindumist olid keskpinnaga risti, jäivad ka peale paindumist keskpinnaga ristuvateks sirgeteks.
 - Analoogia talade juures kasutatava ristlõigete tasandilisuse hüpoteesiga.
- Paindumisel ei muutu plaadi mõtteliste kihitide vahelised kaugused paksuse sihis.
 - Plaadi keskpinna siire $w = w(x, y)$.
- Plaadi paksuse silihised normaalpinged hüljatakse väiksuse tõttu, st. $\sigma_z = 0$.

6.2. Deformatsioonide avaldamine plaadi punkti siire ja läbipainide kaudu.

- Kuna plaat on õhuke, siis ei mõjuta see lihtsusust oluliselt lahendit.

5. Koormus mõjub plaadi pinnaga risti ja on esitatud ruumjõuna:

$$Z(x, y, z) = \frac{3}{2h} \left(1 - \frac{4z^2}{h^2} \right) p(x, y). \quad (6.1)$$

- Selline koormussedus annab välispinnale $z = \pm 0,5h$ nullise koormuse, plaadi keskpinna ühiku kohta aga summaarse koormuse

$$\int_{-h/2}^{h/2} Z(x, y, z) dz = \dots = p(x, y). \quad (6.2)$$

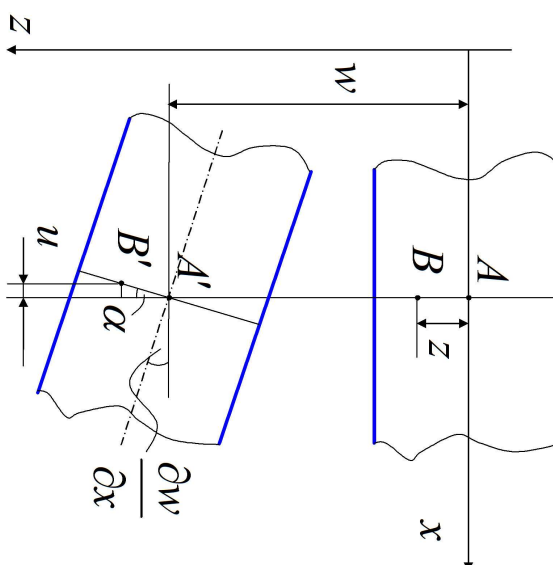
- Tavaliselt vaadeldaksegi plaadi keskpinnal mõjuvat koormust kujul $p(x, y)$.

6.2 Deformatsioonide avaldamine plaadi punkti siire ja läbipainide kaudu.

Plaadi kesktasandi punktide vertikaalsiiret $w(x, y)$ nimetatakse *läbipainideks*. Esimene kolme hüpoteesi põhjal on võimalik avaldada plaadi suvalise punkti

siirdekomponeendid u ja v läbipainde $w(x, y)$ kaudu.

Vaatleme plaadi keskpinna normaali punktide A ja B liikumist paindel (joonis 6.2) ja leiame siirdekomponeetide u ja w vahelise seose.



Joonis 6.2: Plaadi keskpinna normaali punktide A ja B liikumine paindel.

6.2. Deformatsioonide avaldamine plaadi punkti siire ja läbipainde kaudu.

248

- Vastavalt tehtud hüüpoteesidele saab keskpinna punkt A liikuda vaid vertikaalselt. Kesktasandi normaal peab aga jääma ka peale deformatsiooni risti keskpinnaga, seejuures $AB = A'B' = z = \text{const.}$

- Plaadi keskpind punktis A pöördub nurga α võrra. Samal nurgal võrra pöördub ka sirge AB .
 - Seega punkti B siire x telje sühis $u = -z \sin \alpha$.
 - Kuna nurk α on väike, siis

$$\alpha \approx \sin \alpha \approx \tan \alpha = \frac{\partial w}{\partial x}. \quad (6.3)$$

- Analoogiliselt saame siduda ka siirdekomponeendid v ja w . Kokkuvõttes oleme saanud valemid

$$u = -z \frac{\partial w}{\partial x} \quad \text{ja} \quad v = -z \frac{\partial w}{\partial y}. \quad (6.4)$$

Cauchy seoste (3.6) ja valemitte (6.4) põhjal

$$\varepsilon_x = \frac{\partial u}{\partial x} = -z \frac{\partial^2 w}{\partial x^2}, \quad \varepsilon_y = \frac{\partial v}{\partial y} = -z \frac{\partial^2 w}{\partial y^2}, \quad \gamma_{xy} = \frac{\partial u}{\partial y} + \frac{\partial v}{\partial x} = -2z \frac{\partial^2 w}{\partial x \partial y}. \quad (6.5)$$

6.3 Plaadi elastse pinna võrrand

Lähtume tasakaalu diferentsiaalvõrranditest (2.6)

$$\begin{cases} \frac{\partial \sigma_x}{\partial x} + \frac{\partial \tau_{yx}}{\partial y} + \frac{\partial \tau_{zx}}{\partial z} + X = 0, \\ \frac{\partial \tau_{xy}}{\partial x} + \frac{\partial \sigma_y}{\partial y} + \frac{\partial \tau_{zy}}{\partial z} + Y = 0, \\ \frac{\partial \tau_{xz}}{\partial x} + \frac{\partial \tau_{yz}}{\partial y} + \frac{\partial \sigma_z}{\partial z} + Z = 0. \end{cases}$$

- Diferentseerime esimest tasakaalu võrrandit x järgi, teist y järgi ja kolmandat z järgi.

6.3. Plaadi elastse pinna võrrand

250

- Arvestades nihkepingete paarsusseadust saame ellimineerida τ_{yz} ja τ_{xz} .
- Arvestades et $\sigma_z = X = Y = 0$ ja Z on antud awaldisega (6.1) saame lõpuks võrrandi

$$\frac{\partial^2 \sigma_x}{\partial x^2} + 2 \frac{\partial^2 \tau_{xy}}{\partial x \partial y} + \frac{\partial^2 \sigma_y}{\partial y^2} = -\frac{zp(x, y)}{i}, \quad (6.6)$$

kus suurus

$$i = \frac{h^3}{12} \quad (6.7)$$

kujutab endast plaadi ristlõike inertsimomenti pikkusühiku kohta, st., inertsimomendi intensiivsust.

Selleks, et tuletada pingete ja läbipainete vahelised seosed kasutame Hooke'i seadust kujul

$$\sigma_x = \frac{E}{1-\nu^2} (\varepsilon_x + \nu \varepsilon_y), \quad \sigma_y = \frac{E}{1-\nu^2} (\varepsilon_y + \nu \varepsilon_x), \quad \tau_{xy} = \frac{E}{2(1+\nu)} \gamma_{xy} \quad (6.8)$$

ning asendame viimasesse seosed (6.5). Tulemus on järgmine:

$$\left\{ \begin{array}{l} \sigma_x = -\frac{Ez}{1-\nu^2} \left(\frac{\partial^2 w}{\partial x^2} + \nu \frac{\partial^2 w}{\partial y^2} \right), \\ \sigma_y = -\frac{Ez}{1-\nu^2} \left(\frac{\partial^2 w}{\partial y^2} + \nu \frac{\partial^2 w}{\partial x^2} \right), \\ \tau_{xy} = -\frac{Ez}{1-\nu^2} \left[(1-\nu) \frac{\partial^2 w}{\partial x \partial y} \right] \end{array} \right. \quad (6.9)$$

Pannes viimased pingevaldised võrrandisse (6.6) saamegi plaadi elastse pinna võrandi

$$\nabla^4 w = \frac{\partial^4 w}{\partial x^4} + 2 \frac{\partial^4 w}{\partial x^2 \partial y^2} + \frac{\partial^4 w}{\partial y^4} = \frac{p(x, y)}{D}. \quad (6.10)$$

Suurust

$$D = \frac{Ei}{1-\nu^2} = \frac{Eh^3}{12(1-\nu^2)} \quad (6.11)$$

nimetatakse *silindriliseks paindejäikuseks*. Suurust $E/(1-\nu^2)$ võib siinjuures nimetada *plaadi taandatud elastsusmoduuliks*. Võrrand (6.10) on jälegi *biharooniline võrrand*.

6.4. Sisejõud

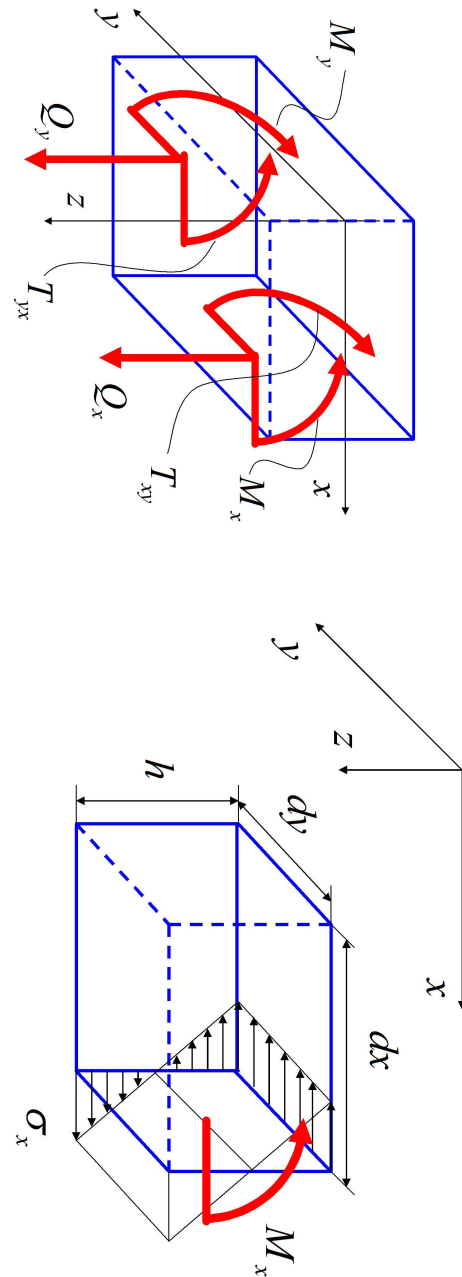
Plaadis mõjuvate pingete leidmiseks tuleb seega kõigepealt lahendada biharooniline võrrand (6.10). Tulemusena saame plaadi läbipainde avaldise $w(x, y)$. Seejärel saame seoste (6.9) abil leida pinged σ_x , σ_y ja τ_{xy} . Nihkepingete τ_{yz} ja τ_{xz} määramiseks tuleb kasutada kahte esimest tasakaaluvõrrandit, kust saab avallada osauletised $\partial \tau_{xz}/\partial z$ ja $\partial \tau_{yz}/\partial z$. Peale integreerimist z järgi rajatingimustel $\tau_{xz}|_{z=\pm 0,5h} = \tau_{yz}|_{z=\pm 0,5h} = 0$ saame

$$\left\{ \begin{array}{l} \tau_{xz} = -\frac{E \left(\frac{h^2}{4} - z^2 \right)}{2(1-\nu^2)} \left(\frac{\partial^3 w}{\partial x^3} + \frac{\partial^3 w}{\partial x \partial y^2} \right), \\ \tau_{yz} = -\frac{E \left(\frac{h^2}{4} - z^2 \right)}{2(1-\nu^2)} \left(\frac{\partial^3 w}{\partial x^2 \partial y} + \frac{\partial^3 w}{\partial y^3} \right). \end{array} \right. \quad (6.12)$$

252

Talade korral mõisteti sisejõudusid kogu tala laiuse ulatuses, st., sisejõuks nimetati mingis ristlõikes mõjuvat summaarset jõudu või momenti. Plaatide korral on kasutused teistsugune lähenemine. Siin nimetatakse sisejõuks hoopis

sisejõu intensiivsust. Teisisõnu, painde- ja väändemomentide ning põikjõu asemel vaadeldakse vastavaid suurusi pikkusühiku kohta.



Joonis 6.3: Plaadi sisejõud.

Taladest erinev on ka paindemomentide ja põikjõu tähistus (joonis 6.3). Plaatide puhul on kombeks tähistada pinge σ_x poolt põhjustatud paindemomenti M_x ja σ_y poolt põhjustatut M_y . Pingest τ_{xz} ja τ_{yz} põhjustatud põikjõudu sid tähistatakse vastavalt Q_x ja Q_y . Seega viatab plaatide korral painde- momentide ja põikjõu tähisest olev indeks vaadeldava ristlõike normaali sihile.

6.4. Sisejõud

Väändemomendid $T_{xy} = T_{yx}$ on põhjustatud nihkepingetest $\tau_{xy} = \tau_{yx}$.

Painde- ja väändemomendid. Momentide arvutamine käib tavapärasel moel ning arvestades avaldsi (6.9) saame painde- ja väändemomendid esitada läbipainde w kaudu:

$$\left\{ \begin{array}{l} M_x = \int_{-\frac{h}{2}}^{\frac{h}{2}} z\sigma_x dz = -D \left(\frac{\partial^2 w}{\partial x^2} + \nu \frac{\partial^2 w}{\partial y^2} \right), \\ M_y = \int_{-\frac{h}{2}}^{\frac{h}{2}} z\sigma_y dz = -D \left(\frac{\partial^2 w}{\partial y^2} + \nu \frac{\partial^2 w}{\partial x^2} \right), \\ T_{xy} = \int_{-\frac{h}{2}}^{\frac{h}{2}} z\tau_{xy} dz = -(1 - \nu)D \frac{\partial^2 w}{\partial x \partial y}. \end{array} \right. \quad (6.13)$$

Põikjõudude jaoks saame avaldsed

$$\left\{ \begin{array}{l} Q_x = \int_{-\frac{h}{2}}^{\frac{h}{2}} \tau_{xz} dz = -D \left(\frac{\partial^3 w}{\partial x^3} + \frac{\partial^3 w}{\partial x \partial y^2} \right), \\ Q_y = \int_{-\frac{h}{2}}^{\frac{h}{2}} \tau_{yz} dz = -D \left(\frac{\partial^3 w}{\partial x^2 \partial y} + \frac{\partial^3 w}{\partial y^3} \right). \end{array} \right. \quad (6.14)$$

Märgireeglid kattuvad talade juures kasutatavatega. Positiivne paindemoment põhjustab positiivsete kihtide ($z > 0$) tõmmet. Positiivne põikjõud mõjub positiivsel pinnal z telje positiivses suunas.

Vastupidised seosed:

$$\left\{ \begin{array}{l} \sigma_x = \frac{M_x}{i} z, \quad \sigma_y = \frac{M_y}{i} z, \quad \tau_{xy} = \frac{T_{xy}}{i} z, \\ \tau_{xz} = \frac{3Q_x}{2h} \left(1 - 4 \frac{z^2}{h^2} \right), \quad \tau_{yz} = \frac{3Q_y}{2h} \left(1 - 4 \frac{z^2}{h^2} \right) \end{array} \right. \quad (6.15)$$

On selge, et paindepinged σ_x ja σ_y ning nihkepinge (väändepinge) τ_{xy} muutuvad ristlõikes lineaarse seaduse põhjal ning omavad ekstreemseid väärtsusi kohal $z = \pm 0,5h$. Nihkepinged τ_{xz} ja τ_{yz} muutuvad aga ruutparabolse seduse järgi omades maksimumi kohal $z = 0$.

6.4.1. Tooreaktsioonid

256

6.4.1.1. Tooreaktsioonid

Talade korral on reaktsioonjõud arvuliselt võrdsed põikjõuga toe kõrval. Plaatide puhul on olukord aga pisut komplitseeritum, sest reaktsioonjõud R_x (mõjub x telje sihilise normaaliga pinnal) ja R_y peavad tasakaalustama ka plaadis tekinud väändemomendi mõju ja näiteks reaktsioonjõud

$$R_x = Q_x + Q'_x, \quad (6.16)$$

kus Q'_x on väändemomendi poolt tekitatud nn. täiendav põikjõud. Eelmise valemiga põhjal on selge, et analoogiliselt põikjõuga, esitatakse ka reaktsioonjõud R_x ja R_y plaadi serva pikkusühiku kohta.

Selgituseks vaatleme kahte kõrvutist vördsed laiusega dy elementaarristkülikut ristlõikes, mille normaal on x telje sihiline (joonis loengus). Parempoolsel ristkülikul mõjub summaarne väändemoment $T_{xy}dy$ ja vasakpoolseil ($T_{xy}' + (\partial T_{xy}/\partial y)dy$) dy . Asendame need väändemomendid jõupaaridega ($F_x, -F_x$) ja ($F'_x, -F'_x$), kus $F_x = T_{xy}$ ja $F'_x = T_{xy}' + (\partial T_{xy}/\partial y)dy$. On selge, et kahe elementaarristküliku ühisel serval on nii tekinud täiendav põikjõud $dF = F'_x - F_x = (\partial T_{xy}/\partial y)dy$. Selline täiendav põikjõud tekib igas elementaarristkülikus laiu-

sega dy . Tähistame selle jõu intensiivsuse $Q'_x = dF/dy = \partial T_{xy}/\partial y$. Korrates sama protseduuri y telje sihilise normaaliga ristlõike jaoks saame täiendava põikjõu intensiivsusega $Q'_y = dF/dx = \partial T_{xy}/\partial x$. Reaktsioonjõud on seega

$$\begin{cases} R_x = Q_x + Q'_x = Q_x + \frac{\partial T_{xy}}{\partial y} = -D \left[\frac{\partial^3 w}{\partial x^3} + (2 - \nu) \frac{\partial^3 w}{\partial x \partial y^2} \right], \\ R_y = Q_y + Q'_y = Q_y + \frac{\partial T_{xy}}{\partial x} = -D \left[\frac{\partial^3 w}{\partial y^3} + (2 - \nu) \frac{\partial^3 w}{\partial x^2 \partial y} \right]. \end{cases} \quad (6.17)$$

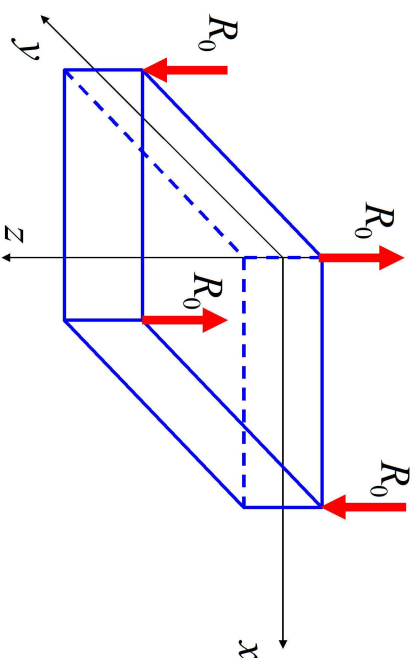
Selliselt sisse toodud jõupaarid annavad aga lisaks mõöda külgi jaotunud reakstioonjõule (reakstioonjõu intensiivsusele) veel täiendavad koondatud reaktsioonjõud

$$R_o = T_{xy} + T_{yx} = 2T_{xy} \quad (6.18)$$

plaadi nurkadesse. Vastavate reaktsioonjõudude positiivsed suunad on näidatud joonisel 6.4. Nende koondatud reaktsioonide sissetoimise vajadus tuleneb faktist, et plaadi nurgapunktides puuduvad vaadeldud elementaarristkülikutel tasakaalustavad naaberristkülikud.

6.5 Rajatingimused

258

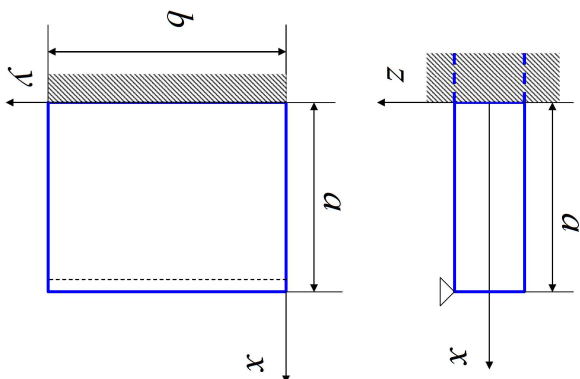


Joonis 6.4: Reaktsioonjõudude positiivsed suunad.

6.5 Rajatingimused

Biharmoonilise võrrandi lahendamiseks on vaja teada vajalikul hulgal *rajatingimused*. Kuna võrrandi järk on mõlemas koordinaadi (x ja y) järgi neli, siis on vaja mõlemas koordinaadi järgi ka neli rajatingimust. Teisisõnu, iga plaadi serva jaoks kaks tingimust. Füüsikaliseks peavad need tingimused vastama plaadi serva kinnitusviisiile.

Kolm tüüpilist plaadi serva kinnitusviisi ja vastavad tähistused on esitatud joonisel 6.5. Serv $x = 0$ on jäigalt kinnitatud, serv $x = a$ vabalt toetatud (liigendiga kinnitatud) ning servad $y = 0$ ja $y = b$ vabad.



Joonis 6.5: Plaadi serva kinnitusviisid ja vastavad tähistused.

6.5. Rajatingimused

Vaatleme järgnevalt nelja juhtu.

1. Jäigalt kinnitatud serv ehk kinniserv. Sellise kinnitusviisi korral ei saa plaadi serv omandada deformatsiooni käigus ei pöördeid ega siirdeid ja ääretingimused on esitatavad kujul

$$w = 0, \quad \frac{\partial w}{\partial x} = 0 \quad \text{ja/või} \quad \frac{\partial w}{\partial y} = 0. \quad (6.19)$$

2. Vabalt toetatud serv või liigendiga kinnitatud serv. Antud juhul ei saa plaadi servapunktid siirdeid, kui pöörded on lubatud. Selliselt toetatud plaadi serv ei võta vastu momente ja ääretingimused saavad kuju

$$w = 0, \quad M_x = 0 \quad \text{ja/või} \quad M_y = 0. \quad (6.20)$$

Avaldise (6.13) põhjal $M_x = -D \left(\frac{\partial^2 w}{\partial x^2} + \nu \frac{\partial^2 w}{\partial y^2} \right)$. Kuna mööda sirget serva tuletis $\frac{\partial^2 w}{\partial y^2} = 0$ (sirge teine tuletis on alati null), siis saavad ääretingimused kuju (kasutades M_y jaoks analoogset lähenemist)

$$w = 0, \quad \frac{\partial^2 w}{\partial x^2} = 0 \quad \text{ja/või} \quad \frac{\partial^2 w}{\partial y^2} = 0. \quad (6.21)$$

Siin valem (6.21)₂ vastab tingimusele $M_x = 0$ ja (6.21)₃ vastab tingimusele $M_y = 0$.

3. Vaba serv. Sellise serva punktid võivad saada nii siirdeid kui pöördeid. Arvestades ääretingimuste füüsikalist sisu peavad nii paindement kui reaktsioonjõud olema vabas servas nullid.

$$R_x = 0 \quad \text{ning} \quad M_x = 0 \quad \text{ja/või} \quad R_y = 0 \quad \text{ning} \quad M_y = 0. \quad (6.22)$$

Arvestades reaktsioonjõudu ja paindementide avaldi saame viimase esitada kujul

$$\begin{cases} \frac{\partial^3 w}{\partial x^3} + (2 - \nu) \frac{\partial^3 w}{\partial x \partial y^2} = 0, & \frac{\partial^2 w}{\partial x^2} + \nu \frac{\partial^2 w}{\partial y^2} = 0 \\ \text{ja/või} \\ \frac{\partial^3 w}{\partial y^3} + (2 - \nu) \frac{\partial^3 w}{\partial x^2 \partial y} = 0, & \frac{\partial^2 w}{\partial y^2} + \nu \frac{\partial^2 w}{\partial x^2} = 0. \end{cases} \quad (6.23)$$

Kuna algne sirge vaba serv ei pruugi deformeerudes jäädä sirgeks, siis siin pole võimalik enam täiendavaid lihtsustusi teha.

6.5. Rajatingimused

262

4. Sümmmeetriatlg. Kui plaat ja koormus omavad ühist sümmetriatelje ja toetusviis on samuti sümmetriiline, siis on ka läbpaine w sümmetriiline. Sel juhul piisab kui lahendada plaadi võrrand vaid ühel pool sümmetriatelje. Sümmetriatelge ennast aga vaadelda kui tinglikku (virtuaalset) serva, kus rajatingimused juhul kui sümmetriateljeks on x ja y telg avalduvad kujul

$$\frac{\partial w}{\partial x} = 0, \quad Q_x = 0 \quad \text{ja/või} \quad \frac{\partial w}{\partial y} = 0, \quad Q_y = 0. \quad (6.24)$$

Arvestades põikiõu avaldi (6.14) saame viimastele kuju

$$\frac{\partial w}{\partial x} = 0, \quad \frac{\partial^3 w}{\partial x^3} + \frac{\partial^3 w}{\partial x \partial y^2} = 0 \quad \text{ja/või} \quad \frac{\partial w}{\partial y} = 0, \quad \frac{\partial^3 w}{\partial x^2 \partial y} + \frac{\partial^3 w}{\partial y^3} = 0. \quad (6.25)$$